



## طراحی پرتوشکافهای قطبشی با استفاده از الگوریتم ژنتیک

مهرداد شکوه صارمی مرتضی نوریان مجتبی میرصالحی سید حسین کشمیری

دانشگاه فردوسی مشهد

دانشکده مهندسی، گروه برق

صندوق پستی: ۹۱۷۷۵ - ۱۱۱۱

مشهد، ایران

پست الکترونیکی: saremi@scienceI.um.ac.ir

است [1][2]. لایه نازک به لایه‌ای از یک ماده با خسrib شکست مشخص گویندکه دو بازتابش متواالی از دو مرز آن، اختلاف راهی کمتر از طول موج نور تابشی ایجاد نماید. روابط مرزی الکترومغناطیس اساسی ترین روابط حاکم بر این لایه‌ها هستند [1]. پرتوشکافهای قطبشی بر دو نوع مکعبی و مسطح می‌باشند. در نوع مکعبی، لایه‌های نازک بر روی قاعده یک منشور نشانیده می‌شوند و سپس منشور دیگری به منشور نخست به گونه‌ای چسبانیده می‌باشد. از کاربردهای پرتوشکافهای قطبشی، جداکردن دو قطبش نوری متعامد  $p$  و  $s$  (TM) از یکدیگر می‌باشد. از کاربردهای پرتوشکافهای قطبشی، جداکردن دو قطبش نوری متعامد از هم و در نتیجه اطلاعات موجود روی آنها (مثلًا در مخابرات تار نوری) می‌باشد. در این پژوهش، طراحی پرتوشکافهای قطبشی به وسیله الگوریتم بهینه‌سازی ژنتیک انجام شده و نتایج مناسبی به دست آمده است.

### چکیده

فیلترهای نوری از قطعات پرکاربرد در اپتیک پیشرفت و سخابات نوری هستند. طراحی این فیلترها با ویژگیهای دلخواه، معمولاً به یک مسئله بهینه‌سازی منجر می‌شود. از جمله فیلترهای نوری میتوان به پرتوشکافهای قطبشی [1] اشاره کرد. کار این نوع فیلترها، جداکردن دو قطبش نوری متعامد  $p$  (TM) و  $s$  (TE) از یکدیگر می‌باشد. از کاربردهای پرتوشکافهای قطبشی، جداکردن دو قطبش نوری متعامد از هم و در نتیجه اطلاعات موجود روی آنها (مثلًا در مخابرات تار نوری) می‌باشد. در این پژوهش، طراحی پرتوشکافهای قطبشی به وسیله الگوریتم بهینه‌سازی ژنتیک انجام شده و نتایج مناسبی به دست آمده است.

واژه‌های کلیدی: لایه‌های نازک، فیلترهای نوری، پرتوشکافهای قطبشی، الگوریتم ژنتیک.

### ۱- مقدمه

پرتوشکافهای قطبشی نوعی فیلتر نوری هستند که میتوانند دو قطبش متعامد  $s$  (TM) و  $p$  (TE) را از یکدیگر جدا کنند. مبنای طراحی و ساخت پرتوشکافهای قطبشی و بیشتر فیلترهای نوری بر نظریه لایه‌های نازک استوار

Polarizing Beam Splitters -۱

Cube Polarizing Beam Splitter -۲

MacNielle -۴ Plate Polarizing Beam Splitter -۳

دامنه میدان عبوری از سیستم و  $B_s$  دامنه میدان تابشی در زیرلایه (ممولاً صفر) هستند.  $P_l$  ماتریس گذر لایه‌ای و ماتریسهای  $D_l$  ماتریسهای دینامیکی می‌باشند.

$$D_{ls} = \begin{bmatrix} 1 & 1 \\ n_l \cos\theta_l & -n_l \cos\theta_l \end{bmatrix}, \quad D_{lp} = \begin{bmatrix} \cos\theta_l & \cos\theta_l \\ n_l & -n_l \end{bmatrix} \quad (4-2)$$

$$P_l = \begin{bmatrix} e^{j\phi_l} & 0 \\ 0 & e^{-j\phi_l} \end{bmatrix} \quad (5-2)$$

حاصل  $D_l P_l D_l^{-1}$  برای هر لایه به صورت زیر خلاصه می‌شود.

$$Q_l = \begin{bmatrix} \cos\phi_l & \frac{j}{\alpha_l} \sin\phi_l \\ j \alpha_l \sin\phi_l & \cos\phi_l \end{bmatrix} \quad (6-2)$$

$\phi_l$  ضخامت موثر فازی لایه  $l$  ام و  $\alpha_l$  برای قطبش  $s$  و برای قطبش  $p$  برابر  $\frac{n_l}{\cos\theta_l}$  است [1]. ضرایب بازتاب (R) و گلر (T)، که میزان بازتابش و عبور انرژی را بیان میکنند، به صورت زیر محاسبه می‌گردند.

$$R = |\frac{M_{2l}}{M_{1l}}|^2$$

$$T = \frac{n_s \cos\theta_s}{n_o \cos\theta_o} |\frac{I}{M_{1l}}|^2 \quad (7-2)$$

چون درایه‌های  $M_{ij}$  برای دو قطبش  $p$  و  $s$  به طور جداگانه محاسبه میشوند پس چهار ضریب به صورت  $s, T_p, R_p$  و  $R_s$  خواهیم داشت [1][4].

## ۲-۲- پرتوشکاف قطبشی

از آنجایی که پرتوشکاف قطبشی نوعی ساختار نوری چند لایه می‌باشد، روابط فوق بر آن حاکم است. در این سایل سعی میشود که قطبش در عبور و یا در بازتابش در نظر گرفته شود. به عنوان مثال قطبش در بازتابش آن است که یکی از ضرایب بازتاب  $p$  یا  $s$  حداقل و دیگری حداقل شود، معیار کیفیت یک پرتوشکاف قطبشی، درجه قطبش

فیلترها می‌توانند جداسازی اطلاعات موجود روی دو قطبش متعامد  $p$  و  $s$  که همزمان روی تار نوری ارسال میشوند، باشد.

## ۲- اصول و مبانی فیلترهای نوری چندلایه و آلگوریتم ژنتیک

### ۱-۲- نظریه لایه‌های نازک

در برخورد به مرز بین هر دو ماده نامتجانس، مقداری از نور تابیده شده بازتابش کرده و بقیه نور از مرز عبور می‌کند. ضرایب فرnel<sup>۱</sup> میزان بازتابش و عبور میدان را از مرز مشخص میکنند.

اگر چند لایه نازک بروی هم قرار گیرند، هر مرز مقداری از نور تابیده شده را عبور داده و بقیه را منعکس میکند. امواج بازتابی (یا عبوری) میتوانند در ناحیه تابش (یا زیرلایه) یا هم تداخل کنند. اگر این تداخل از نوع سازنده باشد، بازتابش (یا عبور) وجود داشته و گرنه سیستم در آن طول موج، بازتابشی (یا عبوری) نخواهد داشت. از طرفی در تابش عمود بر مرز تفاوتی بین دو قطبش  $p$  و  $s$  وجود ندارد. اگر تابش به صورت مایل باشد، به علت تغییر ضخامت فازی لایه‌ها بر اثر تغییر ضریب شکست مواد، رفتار سیستم در مقابل دو قطبش نور متفاوت است. ضخامت فازی هر لایه از رابطه زیر بدست می‌آید.

$$\phi = \frac{2\pi}{\lambda} nd \cos\theta \quad (1-2)$$

در رابطه بالا  $\lambda$  طول موج تابش،  $\theta$  زاویه پرتو نسبت به محور عمود در داخل لایه،  $d$  ضخامت فیزیکی و  $n$  ضریب شکست لایه هستند. در یک سیستم چند لایه میتوان رابطه بین دامنه میدانها را در نواحی تابش و زیرلایه به صورت روابط ۲-۲ و ۳-۲ نوشت [1].

$$\begin{bmatrix} A_0 \\ B_0 \end{bmatrix} = \begin{bmatrix} M_{11} & M_{12} \\ M_{21} & M_{22} \end{bmatrix} \begin{bmatrix} A_s \\ B_s \end{bmatrix} \quad (2-2)$$

$$\begin{bmatrix} M_{11} & M_{12} \\ M_{21} & M_{22} \end{bmatrix} = D_0^{-1} \left[ \prod_{l=1}^N D_l P_l D_l^{-1} \right] D_s \quad (3-2)$$

که  $A_0$  دامنه میدان تابش،  $B_0$  دامنه میدان بازتابش،

آن است [2].

مشخص (اگر اندازه تابع برازنده‌گی از این مقدار بیشتر باشد، پرش به گام ۷ خواهد بود.)، ۴) اعمال انتخاب طبیعی (ورود رشته‌هایی از نسل پیشین به نسل بعدی که تابع برازنده‌گی آنها از میانگین تابع برازنده‌گی در نسل پیشین بیشتر بوده است) و بازآورش (گرینش پیشامدی تعدادی از رشته‌های نسل پیشین و انتقال آنها به نسل بعدی متناسب با تابع برازنده‌گی آنها)، ۵) به کارگیری عملگرهای دورگه‌سازی<sup>۹</sup> و جهش<sup>۱۰</sup>، ۶) ورود نیرومندترین رشته نسل پیشین به نسل کنونی و پرش به گام دوم، ۷) پیمان الگوریتم.

### ۳- طراحی پرتوشکاف قطبی با الگوریتم ژنتیک و ویژگیهای نرم افزار نوشته شده برای آن

همواره طراحی یک سیستم نوری چندلایه با مشخصات دلخواه به مسئله بهینه‌سازی می‌انجامد و همان طور که گفته شد الگوریتم ژنتیک ابزاری قادرمند برای حل چنین مسائلی است [9][10]. در این گونه مسائل متغیرها، تعداد لایه‌ها، ضخامت و ضربیت شکست هر لایه هستند که برای رسیدن به پاسخ مطلوب باید بهینه‌سازی شوند. در این پژوهش، در مورد پرتوشکافهای قطبی، تابع برازنده‌گی (FF) عکس قدر مطلق خطأ و به صورت زیر تعریف شد.

$$FF = \frac{I}{\sum_{i=1}^n (|R_s - I| + |R_p|)} \quad (1-3)$$

با نزدیک شدن مقادیر  $R_p$  به صفر و  $R_s$  به یک، به نقطه بهینه جهانی نزدیکتر می‌شویم یعنی خطاكاهش یافته و تابع برازنده‌گی افزایش می‌یابد. پارامترهای مورد تیاز زاویه تابش، طول موج مرکزی، پهنای یاند لازم، تعداد و ضربیت شکست مواد اپتیکی و حداکثر تعداد لایه‌های موردنظر و نیز ضربیت شکست محیط‌های تابش و زیرلایه هستند.

*Brewster -۲ Quarter Wave Stack -۱*

*Natural Selection -۴ Stochastic -۳*

*Goldberg -۵ Holland -۶ Global -۵*

*Crossover -۹ Fitness Function -۸*

*Mutation -۱۰*

$$P_r = \left| \frac{R_s - R_p}{R_s + R_p} \right| \quad \text{یا} \quad P_t = \left| \frac{T_s - T_p}{T_s + T_p} \right| \quad (1-2)$$

برای طراحی این وسائل تاکنون روش‌های گوناگونی ارائه شده‌اند. یک روش طراحی، استفاده از لایه‌ها و یا پشتله‌های ربع طول موجی<sup>۱</sup> است [2][3]. روش دیگر استفاده از ارضاء، شرط بروستر<sup>۲</sup> بین لایه‌ها با استفاده از زاویه تابش است [2]. در این گونه روشها معمولاً از دو ماده با ضربیت شکست بالا ( $n_H$ ) و پایین ( $n_L$ ) استفاده می‌کنند که  $n_L < n_H$  است (نضریب شکست زیرلایه است). روش‌های دیگر روش‌های بهینه‌سازی مانند روش سوزنی و الگوریتم ژنتیک هستند که در این پژوهش، الگوریتم ژنتیک برای طراحی پرتوشکافهای قطبی انتخاب شده است [5][6][7].

### ۳-۲- الگوریتم ژنتیک

الگوریتم ژنتیک یک روش بهینه‌سازی پیشامدی<sup>۳</sup> است که با به کارگیری قانونی به نام انتخاب طبیعی<sup>۴</sup>، به یافتن نقطه بهینه جهانی<sup>۵</sup> در فضای جستجو می‌پردازد. نخستین بار انتخاب طبیعی توسط داروین مطرح شد. این قانون بیانگر این است که طبیعت تنها به موجودات سازگارتر و نیرومندتر امکان ادامه زندگی را می‌دهد. این روش به وسیله هالند<sup>۶</sup> در سال ۱۹۷۵ برای شبیه‌سازی قابلیت انعطاف و سازگاری موجودات زنده، با یک برنامه رایانه‌ای پیاده‌سازی شد [7] و بعدها توسط پژوهشگران دیگری مانند گولدبرگ<sup>۷</sup> بهبود یافت [8].

در الگوریتم ژنتیک هر نقطه از فضای جستجو به شکل یک رشته به نام کروموزوم نمایش داده می‌شود که به واحدهای تشکیل‌دهنده آن ژن می‌گویند. الگوریتم ژنتیک به جای نقطه‌ها با این رشته‌ها کار می‌کند، در آن تابعی به نام تابع برازنده‌گی<sup>۸</sup> تعریف می‌شود و برای هر رشته مقدار آن محاسبه می‌گردد. الگوریتم یادشده را می‌توان در گامهای زیر خلاصه کرد:

- ۱) ایجاد نسل اول به گونه پیشامدی با توزیع یکنواخت،
- ۲) محاسبه تابع برازنده‌گی برای تک تک رشته‌های این نسل،
- ۳) مقایسه مقدار تابع برازنده‌گی نیرومندترین رشته با مقدار

برای طراحی یک فیلتر  $n$  لایه، باید  $n$  متغیر تعیین گردد که  $n_1 = 1/36$  ( $CeF_3$ )،  $n_2 = 1/65$  ( $MgF_2$ ) و  $n_3 = 2/25$  ( $ZnS$ ) می‌باشد. زاویه تابش در داخل منشور نسبت به محور عمود بر قاعده برابر  $45^\circ$  درجه، طول موج مرکزی  $1/55$  میکرومتر و پهنای باند در طراحی  $160^\circ$  نانومتر در نظر گرفته شده‌اند. تابع برازنده‌گی برای  $15000$  نسل برابر  $9/196$  میباشد. ضخامت لایه‌ها ضرایبی بین  $0/5$  از طول موج مرکزی هستند. ضریب شکست منشور  $1/52$  در نظر گرفته شده است. طراحی به کمک رایانه‌ای با پردازشگر  $486DX4$  انجام شده و زمان صرف شده برای هر نسل  $3/28$  ثانیه بوده است. ساختمان این فیلتر به صورت زیر است که در آن  $n$  ضریب شکست لایه و ضریب آن، نسبت ضخامت لایه به طول موج مرکزی تابش است.

$$\begin{aligned} Glass & | 0.218n_2, 0.249n_1, 0.232n_3 \\ 0.245n_1, 0.218n_2, 0.368n_3, 0.115n_1 \\ 0.186n_1, 0.206n_2, 0.183n_3, 0.391n_1 \\ 0.250n_1, 0.239n_2, 0.111n_3 | Glass \end{aligned}$$

این نوع پرتوشکاف قطبی اغلب در مواقعی که به پهنای نوار و محدوده زاویه‌ای نسبتاً وسیع تیاز باشد، به کار می‌روند.

شکل ۲ رفتار پرتوشکاف قطبی مسطح طراحی شده با الگوریتم ژنتیک را نشان میدهد. این پرتوشکاف دارای  $n_1 = 1/36$  لایه شامل ۳ ماده با ضرایب شکست  $n_2 = 1/65$  و  $n_3 = 2/25$  می‌باشد. زاویه تابش نسبت به محور عمود بر مرز برابر  $60^\circ$  درجه، طول موج مرکزی  $1/55$  میکرومتر، عرض باند در طراحی  $30^\circ$  نانومتر و ضریب شکست زیر لایه  $1/52$  در نظر گرفته شده‌اند. تابع برازنده‌گی برای  $32100$  نسل برابر  $12/15$  میباشد. زمان محاسبه برای هر نسل  $0/22$  ثانیه بوده و ساختمان این فیلتر به صورت زیر است.

$$\begin{aligned} Air & | 0.061n_1, 0.114n_3, 0.195n_2 \\ 0.108n_3, 0.169n_1, 0.095n_3, 0.188n_2, \\ 0.081n_3, 0.213n_1, 0.082n_3, 0.096n_2 \\ 0.198n_1, 0.040n_3 | Glass \end{aligned}$$

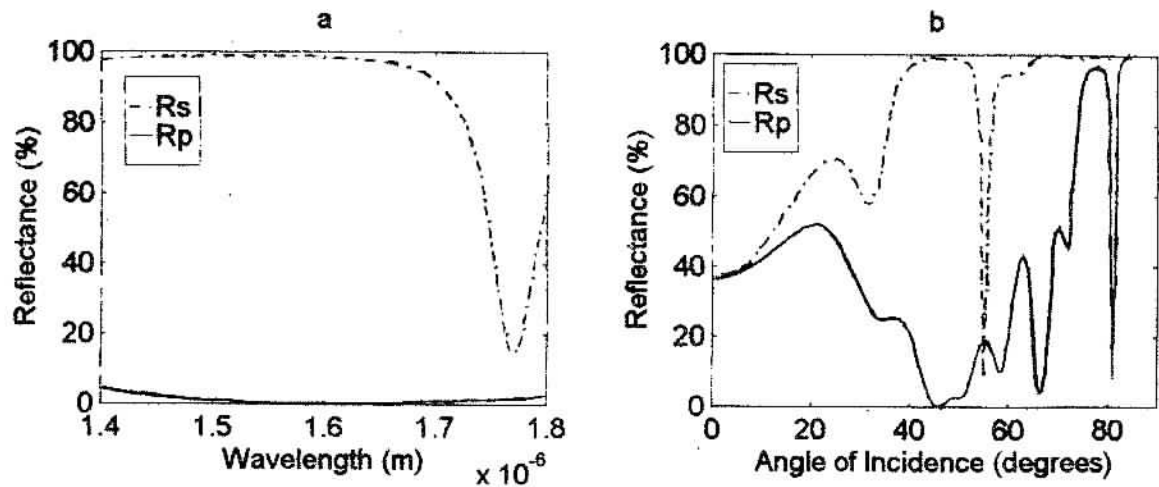
این نوع پرتوشکاف‌ها معمولاً برای عرض نوارهای بسیار

برای طراحی یک فیلتر  $n$  لایه، باید  $n$  متغیر پیوسته (ضخامت لایه‌ها) و  $n$  متغیر گسته (ضریب شکست لایه‌ها) هستند. تابع برازنده‌گی کاملاً غیرخطی و فضای جستجو بسیار گسترده، چند بعدی و پیچیده می‌باشد. جهش و دورگاه‌سازی متناسب با جمعیت  $1$  انجام می‌شود. زمان طراحی فیلترهای نوری به کمک الگوریتم ژنتیک به عواملی مانند جمعیت در هر نسل، تعداد نقاط محاسبه طول موج ( $\lambda$ ) برای به دست آوردن عرض باند لازم و حداکثر تعداد لایه‌های مورد نظر واپس است.

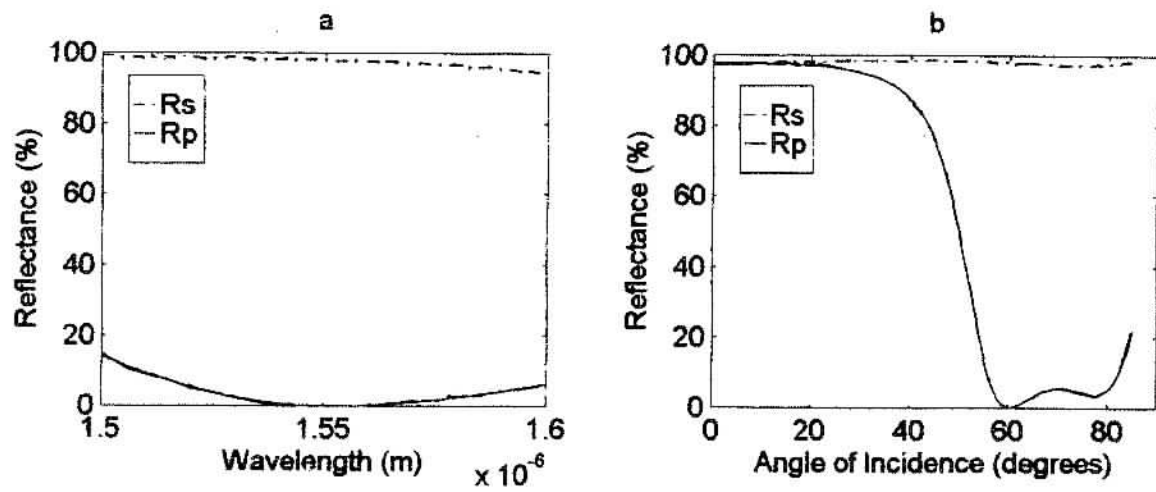
نرم‌افزار نوشته شده توانایی طراحی هر نوع فیلتر نوری و با هر تعداد از مواد با ضرایب شکست مختلف را دارد و به زبان  $C++$  و به صورت شیوه‌گرا<sup>1</sup> نوشته شده است. در ابتدای این برنامه پارامترهای طراحی (همانطور که در بالا گفته شد) از کاربر دریافت می‌شود. سپس برنامه با تولید نسل اول به صورت پیشامدی، با استفاده از تابع برازنده‌گی تعریف شده در بخش ۳ و پیگیری الگوریتمی مشابه آنچه در بخش ۲-۳ آمده است، طراحی را انجام میدهد. حاصل طراحی دو بردار می‌باشد که یکی از آنها مربوط به ضرایب شکست لایه‌ها است و دیگری ضخامت لایه‌ها را بر حسب ضریبی از طول موج مرکزی بیان می‌کند. به کمک مقادیر به دست آمده از طراحی، منحنیهای ضرایب گذار و بازتاب بر حسب طول موج و یا زاویه تابش قابل رسم هستند. این برنامه در حال حاضر قادر به طراحی فیلترهای نوری (از قبیل فیلترهای خاص بازتاب، بازتابنده و اتساع فیلترهای نوارگذار و لبه‌ای) و از جمله پرتوشکافهای قطبی با استفاده از ۱۶ ماده و با  $256$  لایه است. با تغییر تابع برازنده‌گی میتوان شبیه نواحی با بازتابش بالا و پایین را هم در محاسبات منتظر کرد.

#### ۴- نتایج

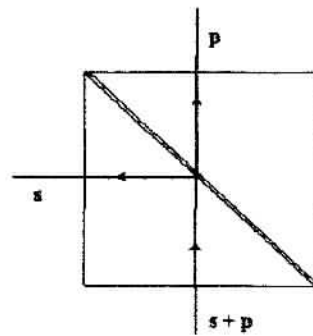
در این بخش نتایج حاصل از طراحی پرتوشکافهای قطبی با استفاده از الگوریتم ژنتیک آمده است. شکل ۱ رفتار یک پرتوشکاف قطبی مکعبی طراحی شده با الگوریتم ژنتیک را نشان میدهد. پرتوشکاف موردنظر دارای  $14$  لایه شامل ۳ ماده با ضرایب شکست



شکل ۱: رفتار پرتوشکاف قطبی مکعبی طراحی شده با الگوریتم زتیک بر حسب طول موج (a) و زاویه تابش (در طول موج مرکزی) (b).



شکل ۲: رفتار پرتوشکاف قطبی سطح طراحی شده با الگوریتم زتیک بر حسب طول موج (a) و زاویه تابش (در طول موج مرکزی) (b).



شکل ۳: ساختمان پرتوشکاف قطبی مکعبی

- Media*, John Wiley & Sons, 1988.
- [2] H. A. Macleod, *Thin Film Optical Filters*, Adam Hilger, 1986.
- [3] A. Thelen, *Design of Optical Interference Coatings*, McGraw-Hill, 1989.
- [4] S. A. Furman and A. V. Tikhonravov, *Basics of Optics of Multilayer Systems*, Editions Frontieres, 1992.
- [5] L. Li and A. Dobrowolski, "Visible broadband, wide-angle, thin film multilayer polarizing beam splitter," *Appl. Opt.*, vol. 35, no. 13, pp. 2221-2225, 1 May 1996.
- [6] P. Baumcister, "Rudiments of the design of an immersed polarizing beam divider with a narrow spectral bandwidth and enhanced angular acceptance," *Appl. Opt.*, vol. 36, no. 16, pp. 3610-3613, 1 June 1997.
- [7] J. H. Holland, *Adaptation in Natural and Artificial Systems*, Univ. Michigan, 1975.
- [8] D. E. Goldberg, *Genetic Algorithms in Search, Optimization and Machine Learning*, Addison-Wesley, 1989.
- [9] D. Weile and E. Michielssen, "Genetic algorithm optimization applied to electromagnetics : A review," *IEEE Trans. Ant. Propag.*, vol. 45, no. 3, pp. 343-353, March 1997.
- [10] R. L. Haupt, "An introduction to genetic algorithms for electromagnetics," *IEEE Ant. Propag. Mag.*, vol. 37, no. 2, pp. 7-15, April 1995.

کوچک طراحی میشود و مناسب کارهای تک طول مرجحی و توان بالا است . شکل ۳ ساختمان پرتوشکاف قطبشی مکعبی را نشان می دهد .

برای بررسی عملی این روش طراحی، پرتوشکافهای مسطح و مکعبی برای طول موج ۶۳۲/۸ نانومتر ( لیزر هلیوم - نئون ) طراحی گردیده و توسط روش تجربی حرارتی، لامپشاتی شده اند . سپس این نمونه ها به وسیله آزمایش های نوری ( با قطبندهای چرخان ) آزمایش گردیده اند . با چرخش قطبنده در مسیر نور موازی شده لیزر که به پرتوشکاف تابیده میشود، شدت نورهای بازنای و عبوری از پرتوشکاف تغییر میکند که این مقادیر قابل اندازه گیری می باشند . همچنین از دستگاه اسپکتروفوتومتر برای بررسی مشخصات طیفی این فیلترها استفاده شده است . نتایج به دست آمده، با توجه به خطاهای سیستماتیک موجود، از هماهنگی خوبی نسبت به مقادیر نظری بروخوردار بوده اند . به عنوان مثال درجه قطبش برای نمونه ای از پرتوشکافهای مسطح به ۹۰٪ هم رسیده است .

#### - نتیجه گیری

همان طور که از نتایج بر می آید، الگوریتم ژنتیک وسیله ای بسیار مناسب و قدرتمند برای طراحی پرتوشکافهای قطبشی و حتی سایر فیلترهای نوری چندلا� است . انعطاف پذیری این الگوریتم به حدی است که میتوان گفت حتی تنها با تغییر تابع برازنده گی، طراحی تمامی فیلترهای نوری میسر است . کار بعدی در زمینه ساخت پرتوشکافهای قطبشی در طول موج های مخابرات نوری و بهبود نرم افزار برای طراحی انواع فیلترهای نوری خواهد بود . لازم به ذکر است این پروژه در آزمایشگاه تحقیقاتی میکروالکترونیک دانشگاه فردوسی مشهد انجام شده است . در اینجا لازم است از همکارانمان در آزمایشگاه تحقیقاتی میکروالکترونیک بخصوص آقایان مهدی باقری محققی، جلال صبری و محمد تقی تشكرو و قادرانی نماییم .

#### مراجع

- [1] P. Yeh, *Optical Waves in Layered*